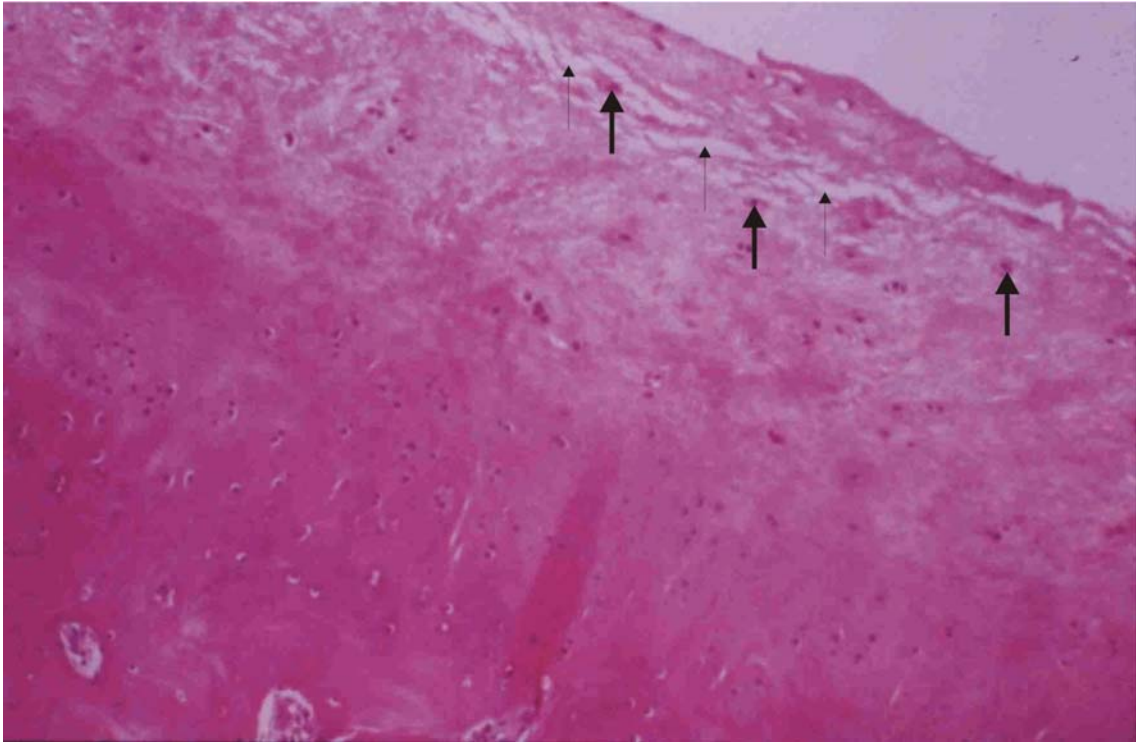
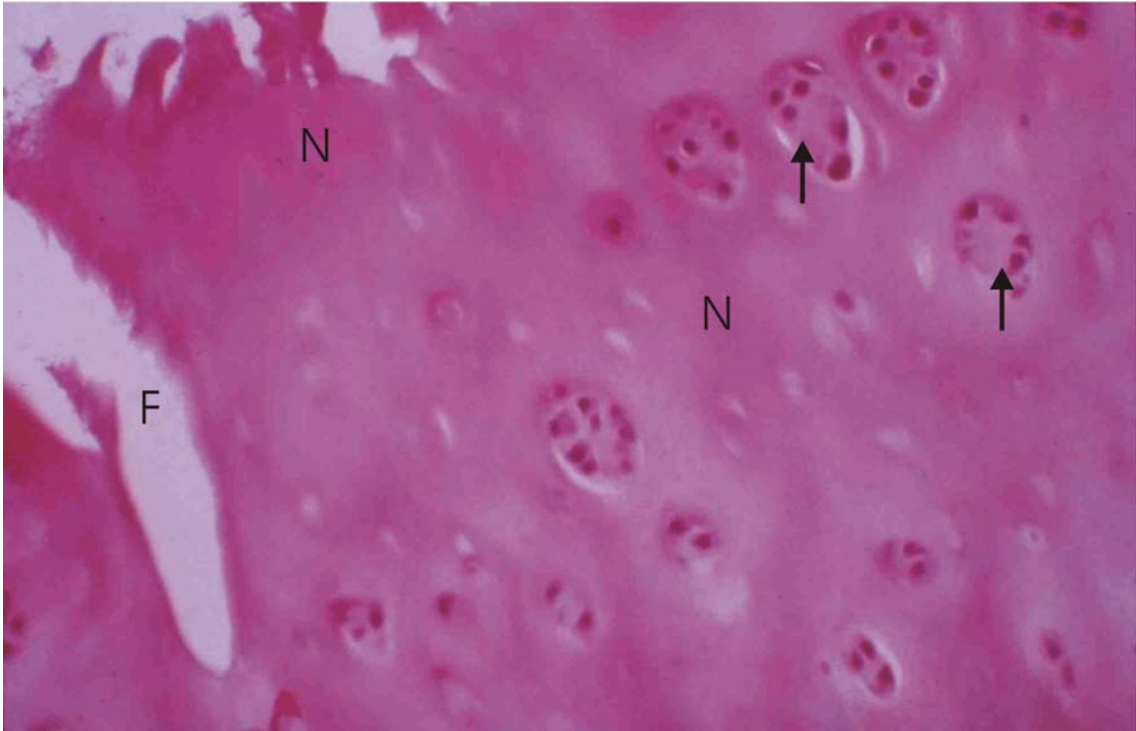


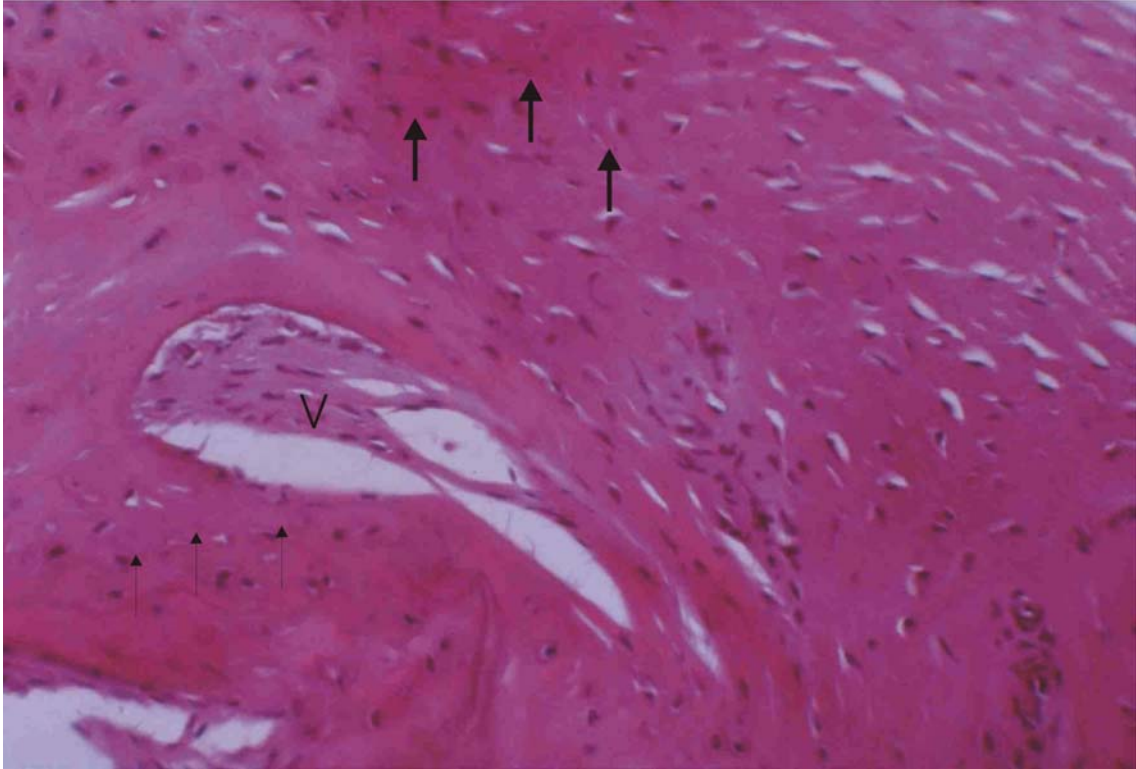
Làmina 1. Cartílag sa (608-9R. Safranina O. 100x).
Fletxes simples, *tidemark*. Fletxes dobles, línia osteocondral.



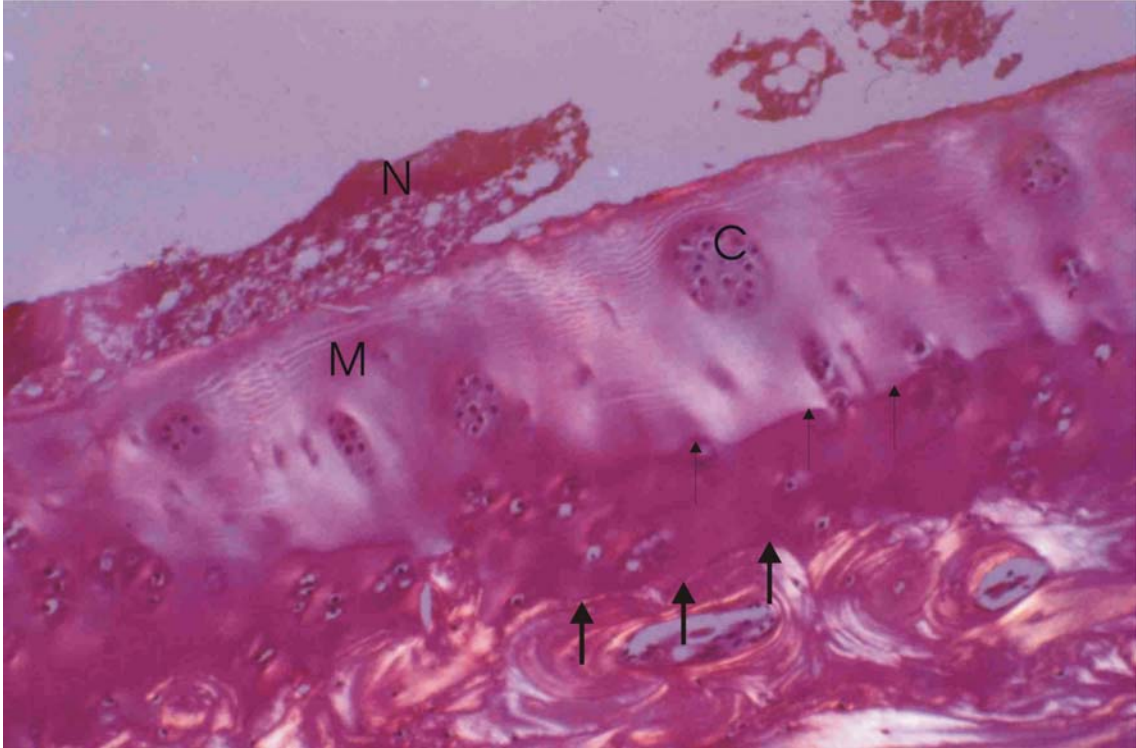
Làmina 2. Cartílag superficial lesionat: marcat edema amb necrosi de condrocits. S'observa un augment de l'espai intercel·lular amb marcada disminució del nombre de cèl·lules viables (611-9L. Safranina O. 200x). Fletxa simple, edema. Fletxa doble, condrocit.



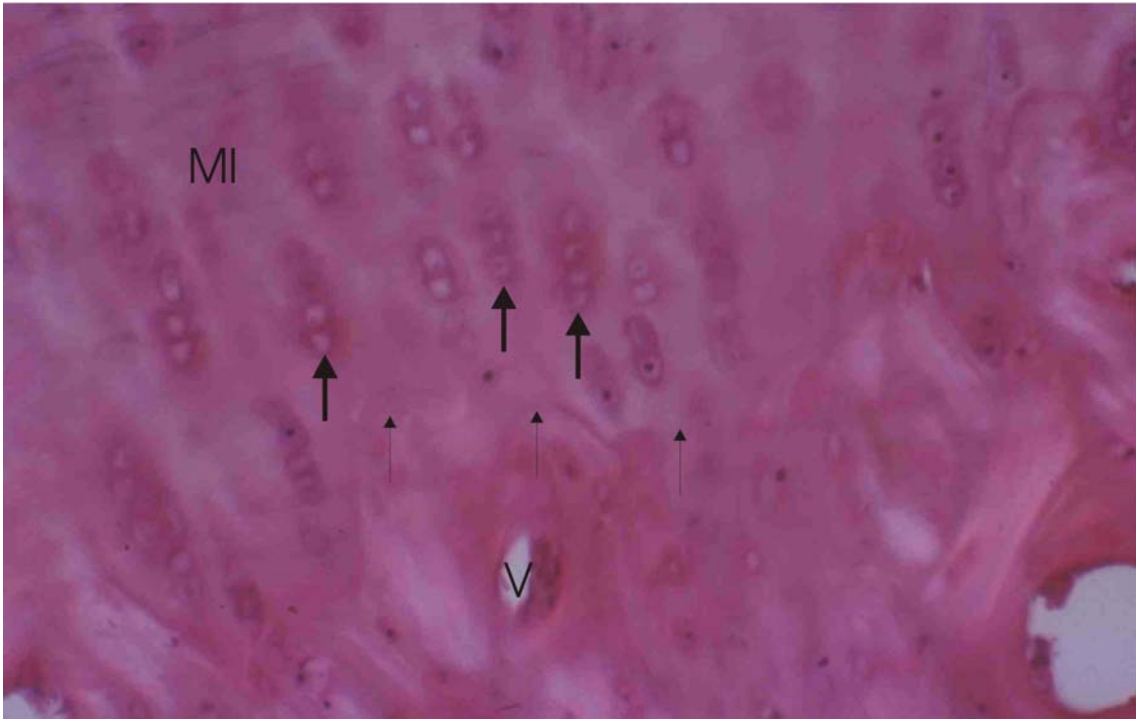
Làmina 3. Cartílag superficial lesionat: *clusters* adjacents a fissura i necrosi cel·lular. S'observa a la zona adjacent a la fissura sota la superfície lesionada una zona acel·lular que ocupa pràcticament tota la part mitja del camp; encara es visualitzen alguns espais lacunars buits que corresponen a condrocits necròtics (526-9L. Safranina O. 200x). F, fissura. N, necrosi. Fletxa, *cluster*.



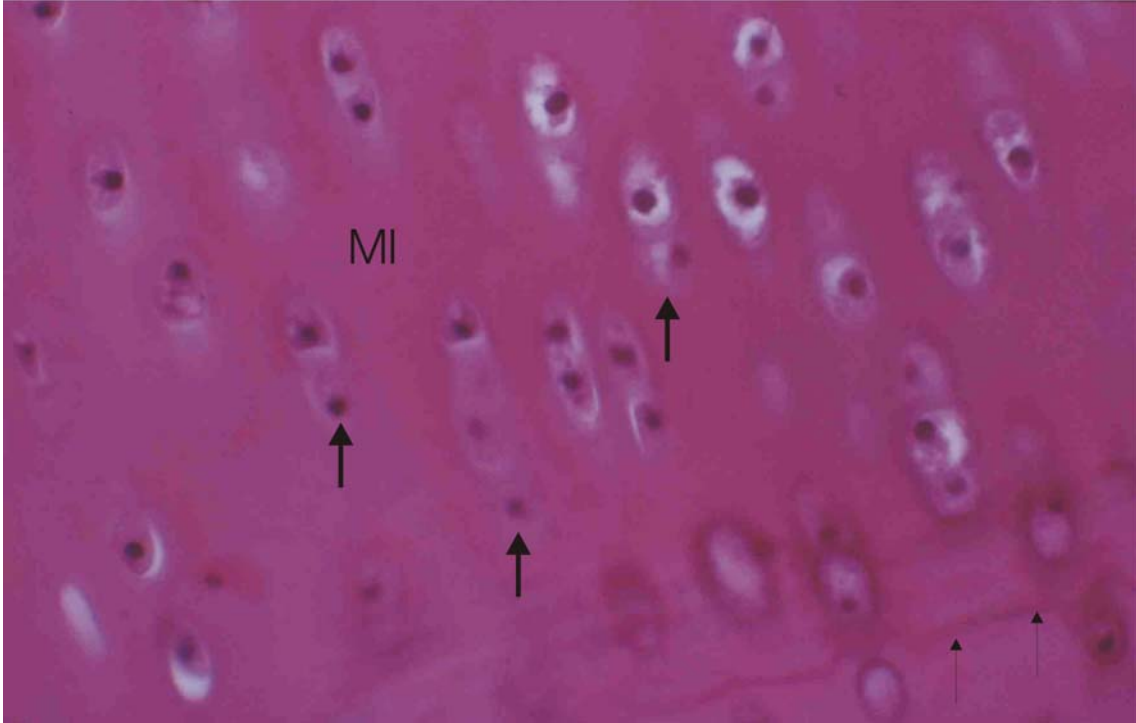
Làmina 4. Cartílag profund lesionat: s'observa una neovascularització profunda i teixit fibrocartilaginós a la part superior. Al voltant de l'espai conjuntiu vascular hi ha restes de la *tidemark* desdoblada i discontinua (611-9L. Safranina O. 200x). V, neovascularització a la zona calcificada. Fletxes simples, *tidemark*. Fletxa doble, fibrocartílag.



Làmina 5. Aspecte del cartílag lesionat amb llum polaritzada (Safranina O. 100x). N, necrosi. C, cluster. M, matriu. Fletxes simples, *tidemark*. Fletxes dobles, línia osteocondral.



Làmina 6. Patró de tinció pericel·lular a la zona calcificada: la tinció amb safranina O és més intensa al voltant de les columnes de condrocits (halo pericel·lular) (Safranina O. Llum polaritzada. 200x).
MI, matriu intersticial. Fletxes simples, línia osteocondral. Fletxa doble, condrocits amb halo pericel·lular. V, vas.



Làmina 7. Patró de tinció difusa a la zona radial: la tinció amb safranina O és més intensa (Safranina O. Llum polaritzada. 200x).
MI, matriu intersticial. Fletxes simples, *tidemark*. Fletxa doble, columna de condrocits.